

Dual Base Swirl Injector Design for Increasing Specific Impluse in a Liquid-Fuel Rocket Engine

F. Ommi^{1*}, A. Kargar² and S. M. Hosseinalipour³

1, 2. Engine and Propulsion Lab., Engineering and Technical Faculty, Tarbiat Modarres University

3.Iran Uni. Of Science and Tech., CAE Lab.

*P.O. Box 14115-143-Tehran-Iran

fommi@modares.ac.ir

Optimized injectors spray and consequently their proper fluid distribution is one of the most important factors determining the thrust force and combustion stability. Reaching a stable combustion with a high specific impulse needs a proper fuel distribution and atomization. Asymmetric distribution of fuel spray droplets lead to asymmetric spray cone and incomplete combustion that cause the chamber broken. Regarding to the numerous advantages of swirl double-based injectors, 25 number of this injector type are manufactured to be mounted on a circular injector plate. To ensure that they have enough accuracy, macroscopic spray characteristic of all injectors are measured and examined in cold test lab and PDA lab. Having checked the quality of each injector, two types of injector plates are designed and manufactured precisely. Having manufactured a circular and a hexagonally arranged injector plate, their spray characteristics are examined. Results show that the circular injector plate has satisfactory spray characteristics like droplet distribution and desirable spray cone and could be ready for warm test.

Keywords: dual-base swirl injector, injector plate, atomization, spray characteristics, cold test

مطالعهٔ تجربی مشخصات اسپری یک نوع صفحهٔ انژکتور موشک سوخت مایع با استفاده از نتایج تست سرد

فتح الله امی^{۱*}، امیر کارگر^۲ و سید مصطفی حسینعلی پور^۳

۱ و ۲- دانشگاه تربیت مدرس، دانشکدهٔ فنی مهندسی، آزمایشگاه موشک و پیشرانش

۳- آزمایشگاه CAE دانشگاه علم و صنعت ایران

*ایران- تهران- صندوق پستی ۱۴۱۱۵-۱۴۳

fommi@modares.ac.ir

پاشش بهینهٔ انژکتورها و توزیع یکنواخت دبی سوخت در صفحهٔ انژکتور موشک سوخت مایع از پارامترهای اساسی در تعیین نیروی پیشرانش و پایداری احتراق است. عبور هر دو سیال عامل احیاکننده و اکسیدکننده در انژکتورهای دو مؤلفه باعث می‌شود که بتوان بدون افزایش قطر صفحهٔ انژکتور دبی سیال سوخت را افزایش داد که این امر موجب بالا رفتن فشار گازهای حاصل از احتراق و نیروی پیشرانش خواهد شد. در این تحقیق تعدادی انژکتور دو مؤلفه پیچشی و یک نمونه صفحهٔ انژکتور مسطح دایروی یک موشک آزمایشگاهی ساخته شده است. سپس با استفاده از سامانهٔ تست سرد انژکتور و صفحهٔ انژکتور ساخته شده، مشخصه‌های اسپری انژکتورها و صفحهٔ انژکتور شامل زاویهٔ پاشش، نحوهٔ توزیع دبی سیال در فشارهای مختلف اندازه‌گیری شده است. نتایج تجربی تست سرد حاکی از آن است که مشخصه‌های اسپری پاشش انژکتور و صفحهٔ انژکتور مانند زاویهٔ پاشش، توزیع و میزان دبی و یکنواختی اسپری مطابق انتظار است.

واژه‌های کلیدی: انژکتور دو مؤلفه پیچشی، صفحهٔ انژکتور، اتمیزاسیون، اسپری، تست سرد

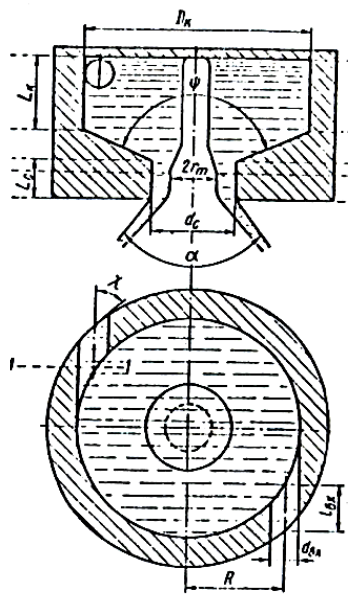
اهمیت خاصی دارد [۱]. مزایای گوناگون انژکتورهای پیچشی دو مؤلفه^۱ مانند قابلیت ایجاد چتر پاشش با زاویهٔ پاشش دلخواه و ایجاد ذرات سیال بسیار ریز که سبب کاهش طول محفظه، وزن موشک و افزایش برد موشک می‌شود، باعث افزایش کاربرد این نوع انژکتورها در صنایع موشکی شده است. به عبارت دیگر استفاده از انژکتورهای پیچشی سبب ایجاد پدیدهٔ چرخش^۲ سیال و در نتیجه افزایش مومنتوس زاویه‌ای و بهبود شکست در چت سیال می‌شود. در نتیجه سیال به لایه‌های نازک‌تر تبدیل و سبب کوچک شدن

مقدمه

موشک سوخت مایع به دلیل دارا بودن میزان تراست بالا و ایمپالس ویژهٔ مناسب، سبب افزایش کاربرد آنها نسبت به سایر موشک‌ها شده است. از طرفی اتمیزاسیون بهینه و توزیع یکنواخت پیشرانه‌ها در محفظهٔ احتراق موشک از عوامل بسیار مؤثر در نیروی پیشرانش و پایداری احتراق است. به عبارت دیگر نحوهٔ پاشش سوخت در محفظهٔ احتراق موشک‌های احتراقی مهم‌ترین شاخص راندمان و اتمیزاسیون قطرات است. بنابراین با توجه به کاربرد این نوع موشک‌ها موضوع کیفیت پاشش صفحهٔ انژکتور

1. Double-base Swirl Injectors
2. Swirl Effect

بقای جرم، اصل بقای اندازه حرکت زاویه‌ای، اصل بقای انرژی یا معادله برنولی و اصل حداکثر دبی یا حداقل انرژی.



شکل ۲- برش اندکتور پیچشی [۱]

نتایج حاصل از محاسبات اندکتور دو مؤلفه پیچشی در حدول (۱) ارائه شده است.

جدول ۱- پارامترهای هندسی اندکتور داخلی و خارجی

اندکتور خارجی (اکسیدکننده)		اندکتور داخلی (احیاکننده)	
زاویه کانال ورودی:	۷۰	زاویه کانال ورودی:	۷۰
زاویه مخروط پاشش:	۹۰	زاویه مخروط پاشش:	۹۰
اختلاف فشار کاری:	۱۰ bar	اختلاف فشار کاری:	۱۰ bar
دبی جرمی:	۲۰ gr/sec	دبی جرمی:	۲۰ gr/sec
تعداد کانال ورودی:	۲	تعداد کانال ورودی:	۲
قطر کانال ورودی:	۱.۱ mm	قطر کانال ورودی:	۱.۱ mm
قطر نازل:	۴.۲۸ mm	قطر نازل:	۱.۸۳ mm

پس از محاسبات مختلف طراحی تعدادی اندکتور دوم مؤلفه برای استفاده در صفحه اندکتور ساخته شده است. همان‌طور که در شکل (۳) نشان داده می‌شود این اندکتور از سه قسم تشکیل شده است: اندکتور داخلی، اندکتور خارجی و درپوش که داخل هم مونتاژ و بریز می‌شوند. اندکتور داخلی برای پاشش سیال احیاکننده و اندکتور خارجی برای پاشش سیال اکسیدکننده در فشار و دبی تعریف شده طراحی و ساخته شده است. برای اینکه این اندکتورها بتوانند روی صفحه اندکتور به راحتی نصب یا در صورت بروز مشکلاتی از جمله گرفتگی منفذ و تغییر شکل

اندازه قطرات سیال و افزایش زاویه مخروط اسپری می‌شود [۲]. دو عامل مهم در تسريع اتمیزاسیون بهینه سیال در اندکتور پیچشی عبارتند از:

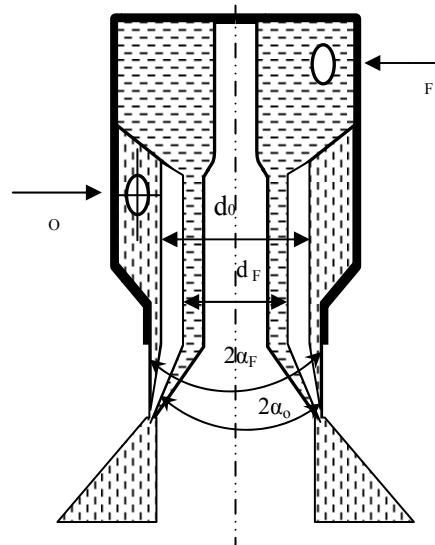
الف- جریان توربولانس در اندکتور

ب- ضخامت نازک لایه سیال عامل

طراحی و ساخت اندکتور پیچشی دو مؤلفه

در اندکتور جریان مستقیم قطر قطرات خروجی در شروع تابعی از قطر نازل خروجی اندکتور جریان مستقیم است ولی در اندکتور پیچشی قطر قطرات به ضخامت لایه سیال بستگی دارد که هرچه نازک‌تر باشد قطر ذرات کوچک‌تر می‌شوند بنابراین در حالت مشابه اندکتور جریان مستقیم و پیچشی با قطر نازل خروجی یکسان، اندکتور پیچشی برای دستیابی به ذرات مایع با قطر کوچک‌تر مناسب‌تر است [۳].

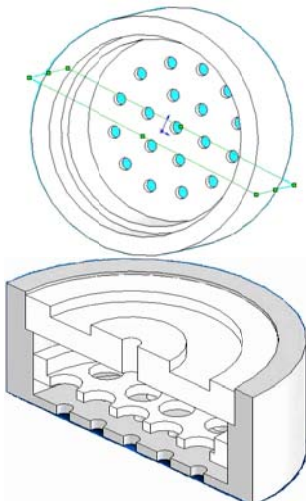
شکل (۱) شمایی یک اندکتور دو مؤلفه مخلوط در خارج را نشان می‌دهد. همان‌طور که در این شکل مشخص شده پارامتر d_F قطر نازل اکسیدکننده، d_O قطر نازل احیاکننده، O و F به ترتیب روزنه ورودی اکسیدکننده و احیاکننده است.



شکل ۱- شمایی یک اندکتور دو مؤلفه مخلوط در خارج

روش طراحی بر این اساس بنا شده است که با توجه به تئوری اندکتور پیچشی ابتدا معادلات براساس قوانین مکانیک سیالات برای سیال ایده‌آل حل شده و سپس با استفاده از یک سری ضرایب و منحنی‌های تجربی اصلاح می‌گردد. قوانین مورد استفاده در تئوری اندکتور گریز از مرکز عبارتند از: اصل

- چگالی ترکیبات سوخت $[kg/sec] = 1.353$ فشار پشت محفظه اکسیدکننده و احیاکننده هر انژکتور به ترتیب برابر 4 bar و 10 bar است.
- فشار گاز در محفظه احتراق $P_K = 5 [MPa]$
- فشار گاز در دهانه نازل $P_a = 0.005 [MPa]$
- ضریب گسترش نازل $\varepsilon = \frac{P_K}{P_a} = \frac{5}{0.005} = 1000$
- دبی انژکتور اکسیدکننده و احیاکننده به ترتیب برابر 20 cc/sec و 110 cc/sec .
- نظم انژکتورها به صورت دایروی هم مرکز و فاصله گام بین آنها در جهت شعاع، یکسان و برابر $h=20 \text{ mm}$ است.
- مطابق شکل (۴) صفحه انژکتور دارای قطر 150 mm و دارای دو محفظه مجزا برای دو سیال اکسیدکننده و احیاکننده است.
- تعداد انژکتورها برابر $n=19$ و نوع آنها به صورت پیچشی دو مؤلفه ترکیب در خارج است.



شکل ۴- نمای مدل سه بعدی برش خورده صفحه انژکتور دایروی

همان طور که در شکل های (۵)، (۶) و (۷) نشان داده می شود؛ صفحه انژکتور مورد نظر از جنس Al-7075، که تحمل خوبی در فشارهای کاری دارد، ساخته شده و از سه قسمت تشکیل شده است. بدن خارجی، پولک جداکننده و در پوش صفحه انژکتور. بدین ترتیب دو محفظه کاملاً مجزا ایجاد می شود که پاشش سیال اکسیدکننده از محفظه پائینی و برای سیال احیاکننده از محفظه بالایی انجام می شود. جهت آبندی کامل صفحه انژکتور از ارینگ و چسبهای آب بندی مخصوص استفاده شده است.

احتمالاً، قابل تعویض و بازررسی باشند قسمت خارجی آنها قلاویز شده است.



شکل ۳- انژکتور پیچشی ساخته شده از جنس برنج

طراحی و ساخت صفحه انژکتور

به طور کلی صفحه انژکتور به سه شکل صفحه انژکتور مسطح، گبیدی و کروی ساخته می شود که امروزه، صفحه انژکتور مسطح به دلیل سهولت در ساخت بیشترین کاربرد را دارد. ولی به علت مساحت کمتر این نوع صفحه نسبت به دو نوع دیگر، تعداد انژکتور کمتری روی آن قرار می گیرد [۴].

یک صفحه انژکتور مناسب باید به گونه ای باشد که:

۱. تأمین کننده حداکثر مقدار انژری باشد. یعنی مشخصه های انژری که عبارتند از ایمپالس ویژه Is و سرعت مشخصه های حداکثر مقدار را داشته باشند.

$$(1) I_S = K_T \beta$$

۲. مقدار تجربی ضریب $K_{T,e}$ در موتورهای با احتراق مجدد بین $1/6$ تا $1/7$ و در موتورهای بدون احتراق مجدد بین $1/3$ تا $1/35$ است.

۳. زمان عملکرد صفحه انژکتور بیش از زمان عملکرد موتور باشد.

۴. طراحی صفحه انژکتور باید به گونه ای باشد که حداقل وزن را داشته باشد.

۵. چیدمان انژکتور در صفحه انژکتور نیز به سه صورت می تواند باشد. این سه نوع آرایش عبارتند از: آرایش شطرنجی، شش ضلعی و آرایش دایروی.

در این تحقیق طراحی، مدل سازی و ساخت صفحه انژکتور مسطح دایروی برای یک موتور موشک آزمایشگاهی با مشخصات ذیل انجام شده است.

- تراست موتور موشک سوخت مایع برابر است با: $T = 7 \text{ KN}$

- ترکیبات سوخت شامل: اکسیدکننده اسید نیتریک: $\text{C}_{7.21}\text{H}_{13.29}\text{NO}_3$ و احیاکننده کراسین: $\text{C}_6\text{H}_5\text{NO}_2$

۳. دو مخزن نگهدارنده با قابلیت تحمل سیال تحت فشار
۴. کپسول نیتروژن با فشار گاز بالا
۵. مانومتر و رگولاتور، شیلنگ و اتصالات جهت کار در فشار بالا
۶. کلکتور شعاعی و قطاعی
۷. استروبوسکوپ و دوربین عکاسی با قابلیت عکس برداری سریع در این تحقیق برای تأمین فشار از مخازن تحت فشار نیتروژن N_2 با درجه خلوص بالا و فشار ۱۵۰ bar استفاده شده است. علت انتخاب گاز N_2 بی‌اثر بودن این گاز بر روی پاشش و همچنین کم خطر بودن آن نسبت به سایر یکطرفه و رگولاتور به روی مخازن دو سیال می‌رسد. برای اینمنی بیشتر مخازن نگهدارنده آب و نفت، فشارشکن‌های ویژه‌ای (فشار بازکنندگی سوپاپ برابر ۱۴ bar) در بالای این مخازن نصب شده‌اند. دو سیال از مسیرهای جداگانه و پس از عبور از مسیر هیدرولیکی و شیرهای دستی به دو محفظه پشت انژکتورها می‌رسند. دو گیج فشار برای خواندن فشار دو مخازن قبل از انژکتورها تعییه شده است. تعداد ۱۹ انژکتور پیچشی دومولفه که به طور دایروی در صفحه انژکتور پیچ شده استفاده شده است. دو نوع کلکتور شعاعی و قطاعی جهت اندازه‌گیری دبی دو سیال در جهات ۲ و ۰ ساخته شده است که در اشکال (۸) و (۹) نشان داده شده است. قطر هر دو کلکتور برای جلوگیری از پخش شدن ذرات پودر شده سیال و همچنین امکان تغییر فاصله صفحه انژکتور تا کلکتورها، دو برابر قطر صفحه انژکتور یعنی 30 mm در نظر گرفته شده است. کلکتور شعاعی به شش قطاع ۶۰° و استوانه‌ای به سه استوانه به شعاع‌های ۱۰، ۲۰ و ۳۰ سانتی متری تقسیم شده است. همچنین برای ثبت زاویه پاشش و مشاهده تمرکز ذرات اتمیزه شده اسپری از یک دوربین عکاسی با قابلیت عکسبرداری سریع استفاده شده است.



شکل ۸- شماتیک کلکتور شعاعی ساخته شده



شکل ۵- نمایش خروجی صفحه انژکتور دایروی



شکل ۶- نمای قرارگیری انژکتورها دایروی درون پولک جداکننده



شکل ۷- نمایش محل قرارگیری انژکتورها در صفحه انژکتور

آزمایشگاه تست سرد پاشش Set-Up

جهت اطمینان از یکنواختی پاشش انژکتورها و صفحه انژکتور و به عبارتی کنترل کیفیت پاشش به آزمایشگاه تست سرد پاشش^۵ نیاز است. در این آزمایشگاه می‌توان مطالعات تجربی پیرامون تست انواع انژکتور و صفحه انژکتور، اندازه‌گیری و بررسی پارامترهای ماکروسکوپی^۶ پاشش مانند زاویه اسپری، طول مخروط پاشش، کیفیت توزیع اسپری و فاصله منطقه شکست سیال^۷ تا نازل انژکتور را انجام داد.

برای انجام آزمایش‌های پاشش انژکتور و صفحه انژکتور به تجهیزات مختلفی نیاز است که عبارتند از:

۱. استند انژکتور و صفحه انژکتور
۲. میز تست

5. Spray Cold Test Laboratory

6. Macroscopic Parameters

7. Liquid Break-up Region

۴. پاشش یکنواخت سیال در محفظه با ثبات دبی پاشش
۵. پاشش یکسان سیال در چتر پاشش
۶. پاشش یکسان و همگن ذرات سیال روی چتر پاشش

نتایج تست سرد پاشش انژکتور

با نصب انژکتور روی استند، تنظیم فشار اکسیدکننده و احیاکننده به مقادیر نامی و استفاده از سیستم عکسبرداری و استریبوسکوپ اشکال ۱۰ الی ۱۲ به دست می آید که قابل بحث و مطالعه است.



شکل ۹- شماتیک کلکتور قطاعی ساخته شده



شکل ۱۰- نمایش زاویه چتر پاشش تشکیل شده از نازل داخلی



شکل ۱۱- نمایش زاویه چتر پاشش تشکیل شده از نازل خارجی



شکل ۱۲- نمایش حات کاملاً توسعه یافته Fully developed چتر پاشش انژکتور در فشار نامی

انتخاب سیال سوخت

به طور کلی استفاده از اکسیدکننده و احیاکننده واقعی موتور برای انجام تست صفحه انژکتور در فشار بالا بسیار خطروناک و به عبارتی غیر ممکن است. زیرا اغلب آنها به صورت خودمشتعل هستند. بنابراین تست پاشش در آزمایشگاه معمولاً با سیال آب و نفت انجام می شود. انتخاب سیال جایگزین به گونه ای باید باشد که خواص ترموفیزیکی آن به سوخت واقعی موتور نزدیک باشد. در این میان پارامتری که به طور جدی در پاشش تأثیر می گذارد ویسکوزیته سینماتیکی است. در جدول (۲) ویسکوزیته سینماتیکی آب به عنوان اکسیدکننده و نفت به جای احیاکننده (سوخت هیدروکربنی RP-1) با هم مقایسه شده اند [۲].

جدول ۲- مقایسه خواص آب و نفت به جای اکسیدکننده و احیاکننده

سیال مشخصه \ مشخصه	آب	اکسیدکننده	نفت	احیاکننده RP-1
kg/m ³ دانسیته	۲/۹۹۸	۱۶۱۵	۷۸۵	۸۰۰
ویسکوزیته سینماتیکی *10 ³	۱/۰۰۲	۱/۸	۴۵/۰۰	۴۵/۸۷
ویسکوزیته دینامیکی 10 ³ *	۱/۰۰۳۸	۱/۱۱۴۶	۰/۵۷۳۲	۰/۵۹۹۳

کنترل کیفیت انژکتور

بعد از ساخت انژکتور، کنترل کیفیت آن در آزمایشگاه تست سرد انجام می شود. پارامترهای اصلی و مشخصه های عملکرد انژکتور عبارتند از:

۱. دبی جرمی انژکتور m_{Φ}
۲. اختلاف فشار دو طرف انژکتور ΔP
۳. زاویه های مخروط پاشش 2α

عدم نشتی تمامی اتصالات و شیرها چک می‌شود. روش انجام آزمایش‌ها بین صورت است که ابتدا فشار مخازن با بازکردن شیر کپسول نیتروژن و تنظیم آن توسط رگولاتور به میزان مورد نظر رسانیده می‌شود. سپس با بازکردن شیرهای دستی انتهایی دو سیال، پاشش آغاز می‌شود. با شروع آزمایش پارامترهای مختلف از جمله، زمان تست پاشش T ، فاصله صفحه انژکتور از کلکتور H ، فشار مخازن اکسید و احیا P_f و P_{ox} قبل از صفحه انژکتور و در پایان تست مقادیر دو سیال جمع شده و همچنین نسبت آنها در هر قسمت از کلکتورها، برای محاسبه K_m تجربی، ثبت می‌شود. آزمایش‌ها با تغییر فشار کاری پشت انژکتورهای دو سیال ادامه می‌یابد. هر تست با دو کلکتور شعاعی و قطاعی انجام می‌شود و با توجه به مقادیر حجم سیال در قطاعها و استوانه‌های هم مرکز (که شماره گذاری شده‌اند) نمودار توزیع چتر پاشش رسم می‌شود. واحد رسم نمودار نسبت حجم سیال در هر کدام از قسمت‌های آزمایش به زمان پاشش است.

نتایج تست سرد پاشش انژکتور و صفحه انژکتور

با نصب صفحه انژکتور روی استند و تنظیم فشار اکسیدکننده و احیاکننده به مقدار نامی نتایج زیر حاصل می‌شود.

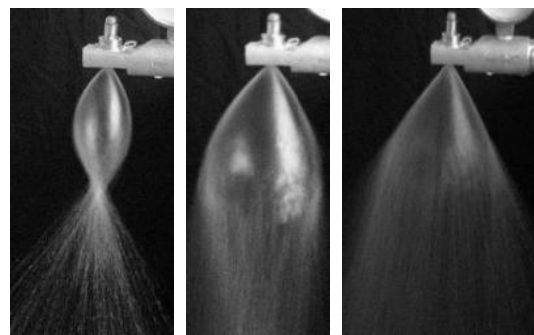


شکل ۱۶- نمایش چتر پاشش تشکیل شده از صفحه انژکتور



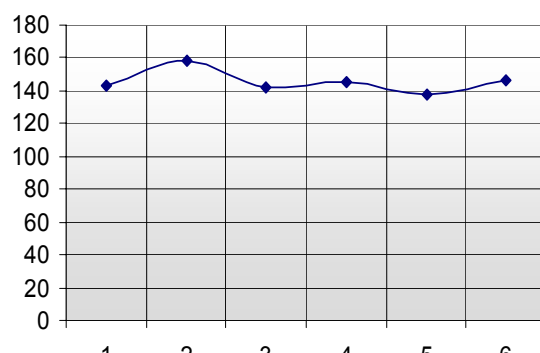
شکل ۱۷- نمایش برخورد چترهای پاشش از صفحه انژکتور

شکل (۱۳) نیز نشانگر نحوه چرخش سیال در انژکتور دومؤلفه پیچشی است.

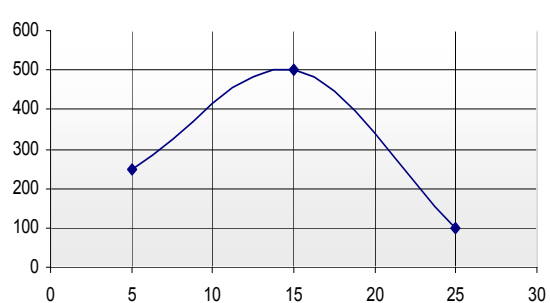


شکل ۱۳- نمایش نحوه چرخش سیال در انژکتور پیچشی

با استفاده از کلکتورهای شعاعی و قطاعی نحوه توزیع دبی سیال در هر قطاع و در هر بخش از استوانه محاسبه می‌گردد که در شکل‌های (۱۴) و (۱۵) نشان داده شده است.



شکل ۱۴- توزیع ذرات اسپری شده از انژکتور در جهت θ



شکل ۱۵- توزیع ذرات اسپری شده از انژکتور در جهت θ

نحوه انجام آزمایش‌ها

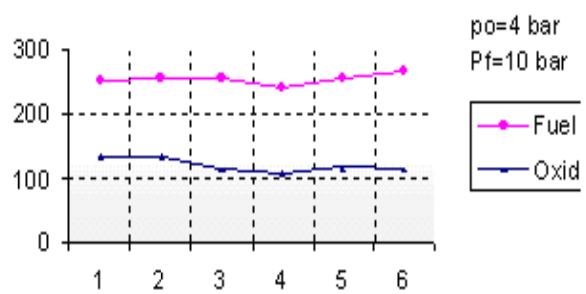
پس از کنترل کیفیت پاشش یکسان قطرات پاشش و همگن بودن ذرات روی شعاع چتر پاشش تمامی انژکتورها، تعداد ۱۹ انژکتور درون صفحه با آرایش دایروی نصب می‌شود. قبل از انجام تست‌ها

پاشش انژکتور دومولفه پیچشی است که در این حالت فشار سیال احیاکننده و اکسیدکننده به مقدار نامی خود رسیده است. شکل (۱۳) دقیقاً مراحل چرخش سیال را بر اثر افزایش فشار نشان می‌دهد که این پدیده تأثیر بسزایی در اتمیزاسیون سوخت و کاهش قطر ذرات سوخت در محفظه احتراق و افزایش کیفیت احتراق دارد. در شکل (۱۶) نحوه برخورد و همپوشانی انژکتورهای مرکزی با انژکتورهای محیطی کاملاً مشهود و مورد انتظار است. همچنین با مطالعه فرایند پاشش انژکتورها و صفحه انژکتور ساخته شده در مجموعه تست سرد و کلکتور قطاعی که در نمودارهای شکل‌های (۱۴)، (۱۵)، (۱۷) و (۱۸) ترسیم شده، مشخص شد که توزیع چتر پاشش اسپری انژکتور و صفحه انژکتور ساخته شده در هر دو جهت π و θ همگن و متعادل است.

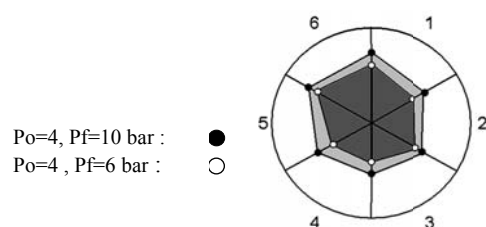
مراجع

- [1] Ditiakin, E. F., Koliachko, L. F., Noikov, B. V. and Yagodkin, V. E., "Fluids Spray," Moscow, 1977.
- [2] Bazarov V. G., "Liquid Propellant Rocket Engine Injector Dynamics," *Journal of Propulsion and Power*, Vol. 14, 1998.
- [3] Ghafourian A., Mahalingam S. and Dindi H., "A Review of Atomization in liquid Rocket Engines," *AIAA Paper*, 91-0283.

[۴] سوخوف، بورکالسوف و امی، فتح‌الله. «مطالعه مشخصات انتشار صفحه انژکتور موتورهای سوخت مایع»، نشریه علمی - پژوهشی دانشگاه صنعتی مسکو، ۱۹۹۶.



شکل ۱۸- توزیع اسپری از صفحه انژکتور در فشار ۴ و ۱۰ بار



شکل ۱۹- نمودار شماتیک توزیع چتر پاشش صفحه انژکتور

نتیجه‌گیری

همان طور که در تصاویر شکل‌های (۱۰) و (۱۱) نشان داده شده است، میزان زاویه مخروطهای پاشش انژکتور داخلی و خارجی به ترتیب برابر 90° و 80° درجه است که مطابق با مقدار پیش‌بینی شده از محاسبات طراحی است. شکل (۱۲) نیز نمایانگر بازشدن چتر